

# مدل سازی و تعیین میزان انتشار آلاینده $\text{SO}_2$ از نیروگاه بخار بعثت به کمک روش‌های عددی و مقایسه آن با مدل گوس

مهندی ابراهیمی<sup>۱</sup>، علیرضا جهانگیریان<sup>۲</sup>

دانشگاه صنعتی امیرکبیر، دفتر گروه دانشکده هوا فضا

*Mebrahimi@cic.aut.ac.ir*

## چکیده

نیروگاه بعثت به عنوان یکی از منابع انتشار گازهای آلاینده در یکی از آلودترین نقاط جنوبی تهران واقع شده است. این نیروگاه در مجاورت چندین منبع خطی، نقطه‌ای و سطحی از جمله ترمینال جنوب، ایستگاه راه آهن، پالایشگاه گاز، سیلوی تهران و وسائل نقلیه موتوری قرار گرفته است و به این جهت تعیین سهم انتشار گازهای آلاینده این نیروگاه در فواصل مختلف از آن به کمک وسائل اندازه‌گیری، با دقت مناسب امکان پذیر نمی‌باشد. در این تحقیق به کمک دینامیک سیالات محاسباتی (CFD) به بررسی آبیودینامیکی جریان گاز  $\text{SO}_2$  خارج شده از 3 دودکش این نیروگاه پرداخته شده است و نقاط حساس شامل اولین نقاط تماس گازها با سطح زمین، همچنین نقاط با حداقل آلودگی در سطح زمین ناشی از کارکرد نیروگاه تعیین می‌شوند. شبیه سازی صورت گرفته در این تحقیق به کمک نرم افزار فلوئنت (FLUENT) انجام می‌گردد که جهت دستیابی به معیاری برای تعیین صحت نتایج در این روش، مدل تئوری گوس نیز مورد استفاده قرار گرفته است و در نهایت مقایسه ای بین این دو روش صورت می‌پزیرد. این تحقیق نشان می‌دهد که با توجه به شرایط جوی غالب منطقه، اولین نقطه تماس این گاز با غلظت  $0/04 \text{ ppm}$  در ارتفاع  $1/8$  متری از سطح زمین در فاصله حدود 400 متری و ماکریتم  $1600$  متری شرق و شمال شرقی نیروگاه از دودکشها اتفاق می‌افتد.

واژه‌های کلیدی: نیروگاه بعثت- انتشار- آلاینده- فلوئنت- مدل گوس

## ۱- مقدمه

نیروگاه بعثت به دلیل تقاطع خطوط اصلی انتقال برق، محل تولید سوخت سنگین، لوله‌های خطوط انتقال گاز و همچنین وجود منابع آبهای زیرزمینی در سال 1343 در زمینی به مساحت 200 هزار متر مربع در جنوب تهران احداث گردید. این نیروگاه شامل 3 واحد بخار  $82/5$  مگاواتی می‌باشد که توسط دو نوع سوخت تغذیه می‌شوند. سوخت سنگین یا مازوت که در ابتدای تاسیس نیروگاه سوخت اصلی بوده و هم اکنون در زمستانها درصد بالایی از سوخت نیروگاه را تامین می‌کند و گاز طبیعی که از طریق خطوط لوله به نیروگاه وارد شده و به طور توان با مازوت تأمین کننده انرژی لازم برای تولید بخار می‌باشد. استفاده از سوخت مازوت در این نیروگاه و بطور کلی استفاده از سوختهای فسیلی سنگین همواره نیروگاهها را به عنوان یکی از مراکز عمده انتشار گازهای آلاینده و خصوصاً  $\text{SO}_2$  در هوای تبدیل کرده است. به این ترتیب با وجود قرار گیری

1- دانشجوی کارشناسی ارشد هواشناسی

2- استادیار دانشکده هواشناسی

نیروگاه بعثت در جنوب تهران، بررسی نحوه انتشار آلاینده‌ها از این نیروگاه و تعیین نقاط حساس جهت اجتناب از احداث اماکن مرتبط با امور کودکان و سالمندان از جمله دبستان، بیمارستان و سایر موارد مشابه از اهمیت بسزایی برخوردار است. اصولاً در مدل سازی و اندازه‌گیری غلظت آلاینده‌ها در این دسته از مسائل سه روش به کار برده می‌شود. در روش اول از ادوات اندازه‌گیری گاز‌های آلاینده استفاده می‌شود که با توجه به سادگی عملکرد، معمول ترین روش ممکن می‌باشد اما از آنجایی که امکان تفکیک سهم منابع مختلف در ایجاد آلودگی در این روش وجود ندارد تنها در مواردی که غلظت آلاینده‌ها، مستقل از نوع منبع مورد اهمیت باشد کاربرد دارد. در روش دوم از مدل‌های تئوری بهره گیری می‌شود که از پر کاربردترین آنها می‌توان به مدل گوس اشاره کرد. در این روش با توجه به شرایط جوی و گرفتهای مرتبط که با توجه به پایداری هوا و سرعت باد، ضرائب مورد نیاز در معادله تئوری را ارائه می‌دهند، میزان غلظت آلاینده‌ها در هر نقطه از میدان استخراج می‌شود. از عمدۀ نواقص این روش می‌توان به دقت نه چندان بالای آن و عدم قابلیت مدل سازی موانع تاثیر گذار از جمله ساختمانهای بلند و برجستگی‌های زمین اشاره نمود. روش دیگر استفاده از متدهای عددی در حل معادله جریان سیال است که با توجه به پیشرفت رایانه‌های امروزی، روشی تقریباً نو ظهور بوده و در صورت شبکه بندی و انتخاب مدلی مناسب جهت مدل سازی جریان سیال روشی با قابلیت و دقت بالا می‌باشد. طی سالهای اخیر غالب شیوه سازی صورت گرفته در این زمینه به کمک این روش انجام شده است. در این تحقیق به کمک نرم افزار فلورنت به بررسی نحوی انتشار و تعیین غلظت آلاینده‌ها از نیروگاه بعثت پرداخته شده است و نهایتاً مقایسه‌ای بین نتایج بدست آمده و نتایج حاصل از مدل گوس ارائه می‌شود.

## 2- تئوری حل معادلات جریان سیال به کمک روش عددی

پیش‌بینی حرکت ذرات سیال در نرم افزار فلورنت به کمک ایده دیدگاه لاغرانژین (LPTM<sup>1</sup>) و بر پایه تنش رینولدز (RSM<sup>2</sup>) انجام می‌پزیرد. مدل توربولانس استفاده شده در این تحقیق  $\epsilon - k$  می‌باشد و جهت دستیابی به دقت بالاتر، متد درجه دوم بالا دست جریان<sup>3</sup> برای حل تمامی معادلات به کار گرفته شده است [1].

## 1-2- تعیین پروفیل سرعت

لایه مرزی سرعت بر روی سطح زمین شامل 3 لایه تحتانی، میانی و خارجی می‌گردد که در حدود 100 تا 200 متر عمق دارد. لایه درونی متأثر از نحوی چیدمان منطقه‌ای شهر و ارتفاع ساختمانها می‌باشد، در لایه میانی این اثرات تا حدی گسترده‌تر بوده و از حالت منطقه‌ای خارج می‌گردد، لایه خارجی نیز بیانگر مجموع اثرات چیدمان شهری بر روی پروفیل سرعت در محدوده مورد بررسی می‌باشد. این پروفیل با معادله (1) ارائه می‌گردد [2].

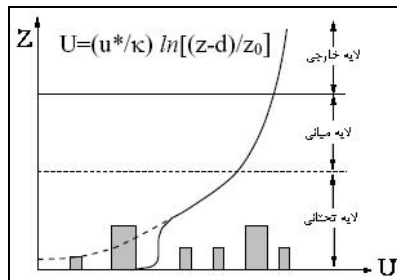
$$(1) \quad U = \frac{u^*}{k} \ln\left(\frac{z - d}{z_0}\right)$$

در این معادله  $u^*$  معرف سرعت متوسط، حاصل از میانگیری تنش برشی بر روی منطقه مورد بررسی می‌باشد. پارامترهای  $z$ ,  $k$ ,  $d$  و  $z_0$  نیز به ترتیب به عنوان ارتفاع از سطح زمین، ضریب فون کارمن، زبری سطح و طول جابجایی معرفی می‌گردند. شکل شماره (1) این مناطق را به همراه پروفیل سرعت هوا بر روی یک منطقه مسکونی فرضی نشان می‌دهد.

1 Lagrangian Particle Tracing Model

2 Reynolds Stress Model

3 Second-orderd upwind



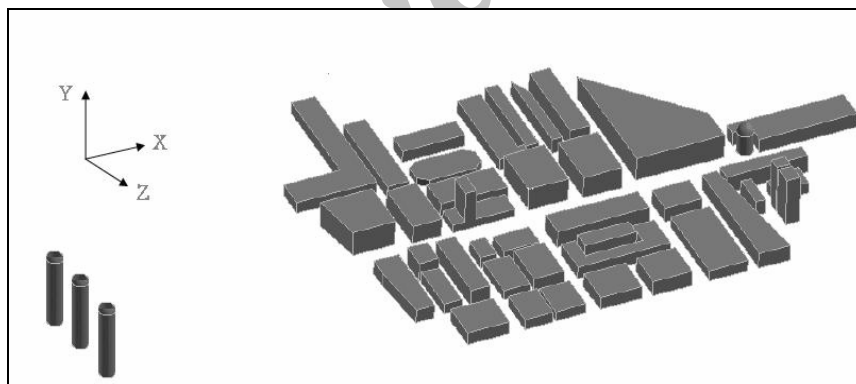
شکل 1- پروفیل سرعت هوا بر روی یک منطقه مسکونی

مقادیر زبری سطح و طول جابجایی به کمک ضریب دیگری به نام سطح تماس( $\lambda_f$ ) تعیین می‌گردد. این ضریب با توجه به سطح کل ساختمانها به سطحی که در معرض باد قرار دارد انتخاب می‌شود که مقدار آن برای شهرهای مدرن با ساختمانهای متراکم و بلند در حدود  $0/3$  و برای مناطقی نظیر نیروگاه بعثت که با ساختمانهای غالباً کوتاه احاطه شده است در حدود  $0/1$  می‌باشد[3]. با تعریف  $H_r$  بعنوان ارتفاع متوسط ساختمانهای منطقه این مقادیر به کمک معادله 2 استخراج می‌گرددند[4].

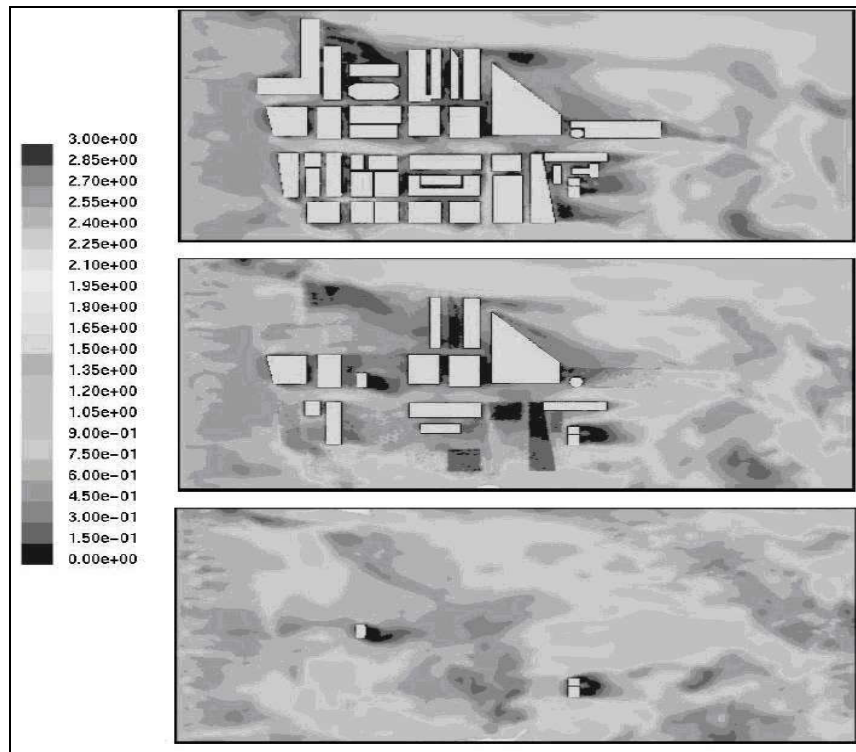
$$\text{و} \quad \frac{d}{H_r} = 0/7 + 0/35(\lambda_f - 0/15) \quad (2)$$

$$\frac{z_0}{H_r} = \lambda_f$$

شکل شماره (2) نمایی از منطقه اطراف نیروگاه را نشان می‌دهد. در شکل شماره (3) کانتور سرعت باد در صفحه افقی (صفحه X-Z) و در ارتفاعهای  $Z=H/2, H, 2H$  به کمک فلوئنت ترسیم شده است. جهت باد غالب به سمت محور X مختصات می‌باشد.



شکل 2- نمایی از 3 دودکش نیروگاه بعثت و توپولوژی منطقه در نمای نزدیک



شکل ۳- نمایش کانتور سرعت باد در صفحه افقی (صفحه X-Z) و در ارتفاعهای  $Z=H/2$ ,  $H$ ,  $2H$

## ۲-۲- معادلات حاکم

شبیه سازی جریان سیال به کمک حل معادلات ناویر استوکس و معادلات تنش رینولدز که با یکدیگر بصورت کوپل شده قرار گرفته اند صورت می پذیرد [5]. این شبیه سازی با میانگین گیری زمانی از جریان سیال در محیط نرم افزار فلوئنت صورت گرفته و از پدیده های ناپایدار نظیر ریزش ورتکس (Vortex shedding) صرف نظر شده است.

## ۳-۲- شرایط مرزی

منطقه مورد بررسی در مکعب مستطیلی فرضی به ابعاد  $4 \times 4 \times 10$  کیلومتر محصور شده است. جریان ورودی با پروفیل سرعت ارائه شده در معادله (1) به عنوان شرط مرزی صفحه بالادست جریان (Velocity inlet) انتخاب گردیده (صفحه موازی Y-Z) و صفحه پایین دست جریان نیز به عنوان صفحه خروجی فشار (Pressure outlet) و با توجه به ارتفاع تهران با فشار 0/86 بار منظور شده است (صفحه موازی Y-Z) و صفحات شمالی، جنوبی (صفحه موازی X-Y) و صفحه افقی محدود کننده سطح بالایی میدان (صفحه موازی X-Z) با فرض سرعت متوسط و گرادیان عمودی تمام مولفه ها به عنوان صفحات سیمتریک انتخاب شده اند همچنین سطح زمین، ساختمانها و دودکشها نیروگاه نیز به عنوان صفحات دیوار تعریف می گردند.

## ۴-۲- شبکه بندی میدان

محوطه اطراف نیروگاه به حجم 160 کیلومتر مکعب با شش وجهی هایی به تعداد تقریبی 2/8 میلیون سلول شبکه بندی گردیده است. جهت دستیابی به دقت مطلوب طی یک زمان معقول، فضای اطراف دودکشها متراکم تر و بصورت بی سازمان شبکه بندی شده است که با فاصله گرفتن از دودکشها این شبکه بندی به سمت شبکه بندی با سازمان سوق داده می شود. شکل شماره (5) نحوی شبکه بندی سطوح دیوار اطراف دودکشها را بهمراه نحوی انتشار گاز  $SO_2$  در صفحه میانی میدان نشان می دهد.

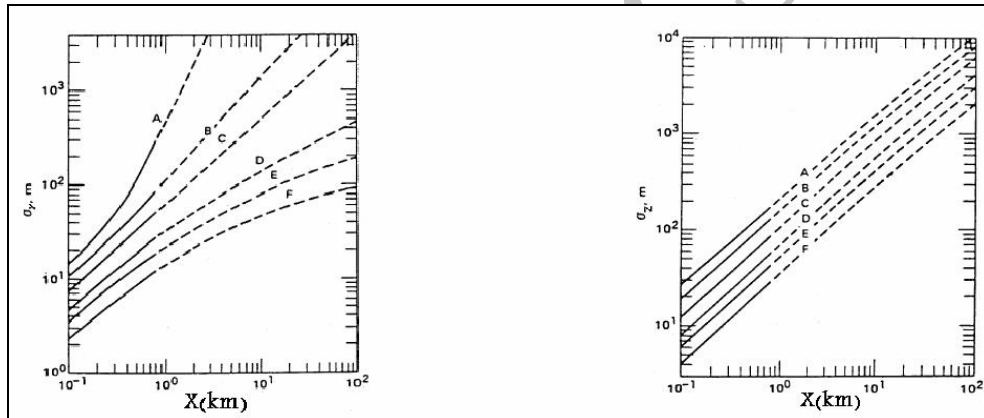
### 3- مدل گوس

برای به دست آوردن مدل گوس از دیدگاه لاغرانژین استفاده شده و بر پایه موازنی جرم استوار است. اگر در معادله موازنی جرم از فاکتور های تولید و زوال صرفنظر شود، در نهایت می توان به معادله ذیل دست یافت.

$$C(x, y, z, H) = \frac{Q}{2\pi\sigma_y\sigma_z U} \exp\left(-\frac{y^2}{2\sigma_y^2}\right) \left\{ \exp\left[-\frac{(z-H)^2}{2\sigma_z^2}\right] + \exp\left[-\frac{(z+H)^2}{2\sigma_z^2}\right] \right\} \quad (3)$$

در این معادله  $Q$  دبی انتشار هر آلایینده،  $U$  سرعت باد،  $C$  غلظت هر آلایینده در هر نقطه با  $x$ ,  $y$  و  $z$  معین،  $H$  ارتفاع موثر دودکش،  $\sigma_y$  ضریب انتشار افقی و  $\sigma_z$  ضریب انتشار عمودی هستند. در بدست آوردن معادله (3) فرض شده است که جریان گازی آلایینده ها یکنواخت بوده و با دبی  $Q$  از دهانه دودکش با مختصات  $(0, 0, H)$  آغاز می گردد. بدلیل همسانی شکل تابع نمایی معادله مذکور با آنچه درتابع نمایی توزیع نرمال گوس آمده است، (تابع توزیع نرمال گوس در بحث آمار بسیار مورد استفاده قرار می گیرد) معادله فوق به معادله اساسی گوس نامگذاری شده است.

در استفاده از این معادله مقادیر مناسب برای ضرایب انتشار مورد نیاز است که از گرافهای موسوم به ترنر (Turner) قابل استخراج می باشد. نمودار های شماره (1) و (2) این گرافها را که به صورت لگاریتمی تهیه شده اند نمایش می دهد. لازم به ذکر است که تمایز موجود در مقادیر ضریب انتشار افقی و عمودی بیانگر اختلاف موجود در انتشار در جهات عمودی و افقی می باشد و غالبا شرط  $\sigma_y < \sigma_z$  برقرار است.



نمودار 1- ضریب انتشار افقی بر حسب فاصله در جهت X

در نمودارهای شماره (1) و (2) خطوط A تا F مربوط به شرایط متفاوت پایداری اتمسفریک هستند که نحوی تعیین آن در جدول شماره (1) ارائه شده است [6].

جدول 1- کلاس های پایداری هوا در شرایط متفاوت اتمسفری

سرعت باد در ارتفاع 10 متری	روز			شب	
	شدت تشعشع دریافتی در سطح زمین			میزان تراکم	ابر
m/s	شدید	متوسط	ضعیف	$\geq \frac{4}{8}$	$\leq \frac{3}{8}$
<2	A	A-B	B	-	-
3-2	A-B	B	C	E	F
5-3	B	B-C	C	D	E
6-5	C	C-D	D	D	D
>6	C	D	D	D	D

#### 4- مشخصات دودکشها و گازهای متصاعد شده

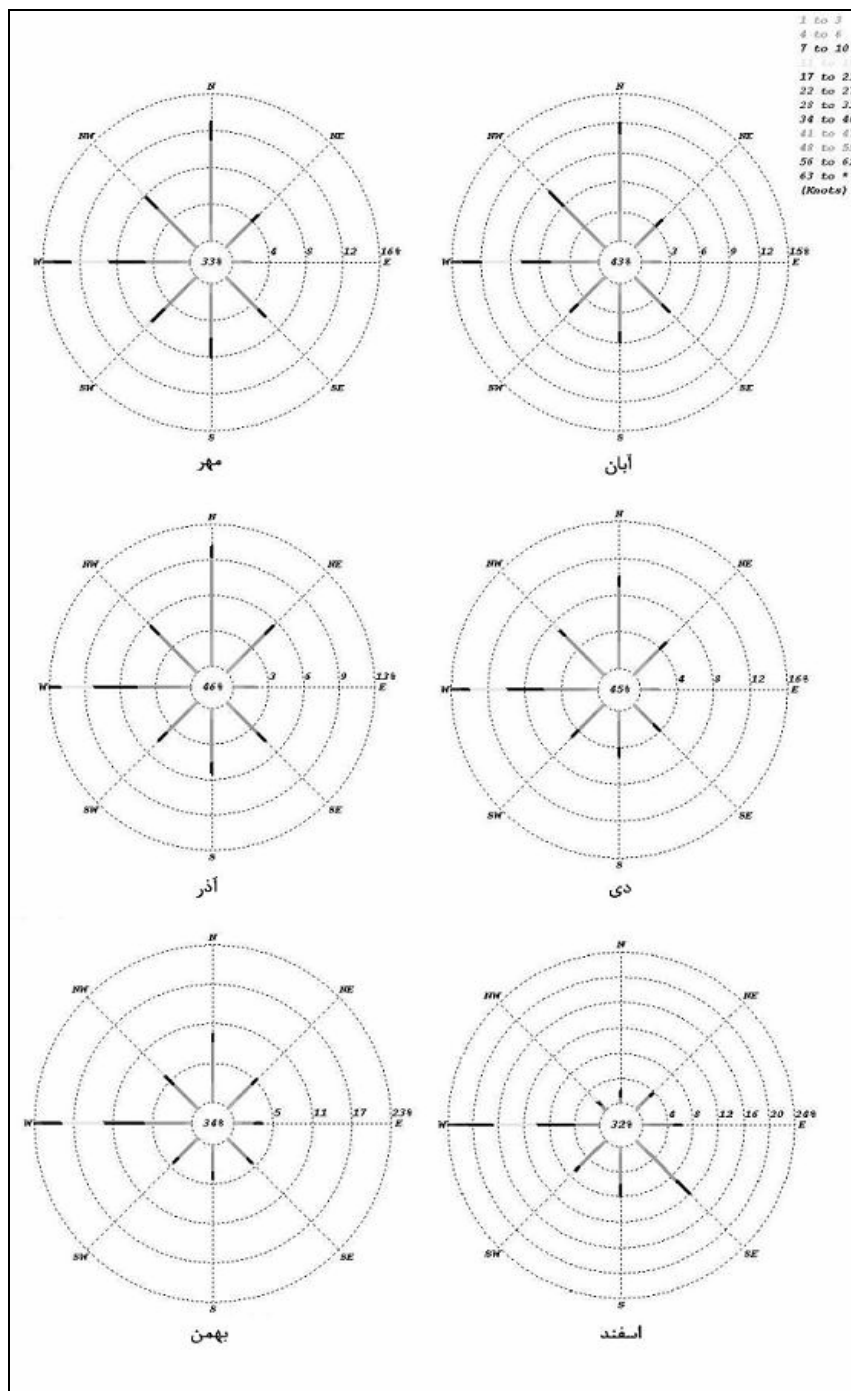
نیروگاه بخار بعثت شامل 3 دودکش به ارتفاع 28 متر است که به فاصله 30 متر از یکدیگر در یک راستا قرار دارند. قطر دهانه این دودکش ها 2/8 متر بوده و دمای میانگین گازهای خروجی از دودکش ها در حدود 135 درجه سانتیگراد می باشند. جدول شماره (2) میزان میانگین انتشار آلایinde های مختلف را در طول یک روز زمستانی از این نیروگاه نشان می دهد. لازم به ذکر است که در طول زمستان با توجه به کمبود گاز تامین کننده سوخت نیروگاه و مصرف بیشتر سوخت مازوت، درصد انتشار گاز  $\text{SO}_2$  تا چندین برابر فصل تابستان افزایش می یابد[7].

جدول 2- انتشار آلایinde ها از هر 3 دودکش نیروگاه (کیلوگرم در روز)

آلایinde	سوخت مازوت	سوخت گاز
ناچیز	9260	$\text{SO}_2$
ناچیز	0/975	CO
237	2450	ناکس
9/5	195	ذرات
ناچیز	49	هیدروکربن ها

#### 5- اطلاعات هواشناسی

جهت مدل سازی جریان گاز های آلایinde در این تحقیق، اطلاعات هواشناسی از جمله دمای منطقه در ایام مختلف سال، درجه پایداری هوای منطقه، درصد پوشش ابر، سرعت و جهت باد مورد نیاز است که از ایستگاه هواشناسی مهرآباد که در فاصله چند کیلومتری نیروگاه قرار دارد تهیه شده است. در این مطالعات، تجزیه و تحلیل داده های باد برای یک دوره زمانی شش ماهه که از اوایل پاییز آغاز شده و تا اواخر زمستان ادامه دارد و طی این مدت آلدگی نیروگاه به بیشترین مقدار خود میرسد صورت می پزیرد. شکل شماره (4) گلbadهای مربوط به این دوره را نمایش می دهد[8].



شکل ۴- گلبداهای ثبت شده در ایستگاه هواشناسی مهرآباد برای ماههای مهر تا اسفند

همانطور که از گلبداهای شکل شماره (4) مشخص است، جهت باد غالب این منطقه به غیر از ماههای مهر، آبان و آذر که در دو جهت شمال و غرب وزیدن می کند در سایر ماههای فصل پاییز و زمستان در جهت غرب نیروگاه می باشد و به این معنی است که مناطق شرقی نیروگاه در معرض آلودگی شدیدتری قرار دارند.

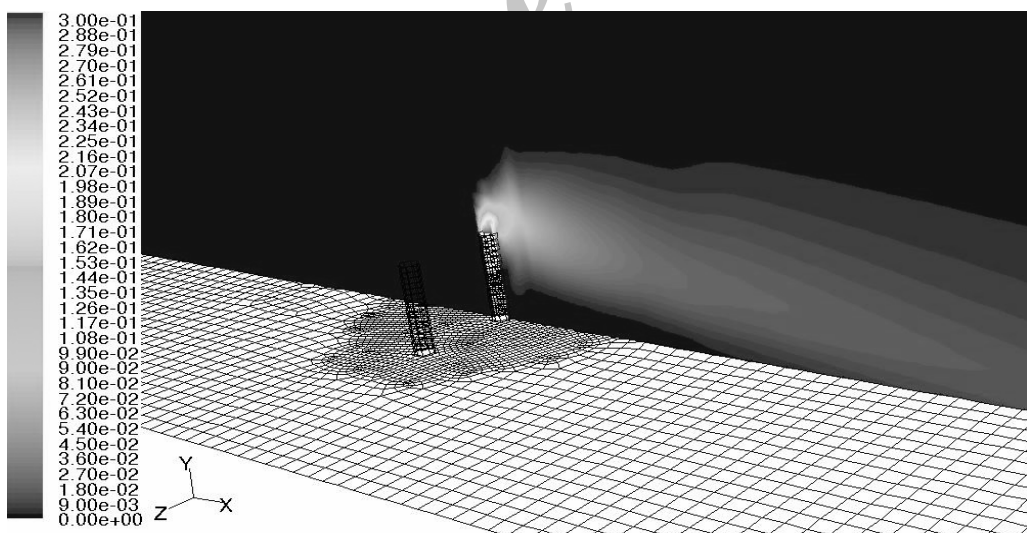
## 6- مدل سازی انتشار گاز $\text{SO}_2$

با توجه به افزایش مصرف سوخت مازوت در نیروگاه بعثت طی 6 ماه دوم سال، مدل سازی صورت گرفته در این تحقیق بر مبنای اطلاعات هواشناسی و مقادیر گاز  $\text{SO}_2$  منتشره از دودکش‌های نیروگاه طی مدت مذکور صورت می‌پزیرد. به منظور ارائه مقایسه‌ای بین مقدار  $\text{SO}_2$  موجود در هوا اطراف نیروگاه و شدت آلایندگی ایجاد شده توسط این گاز، استانداردهای شاخص کیفیت هوا (AQI<sup>1</sup>) منتشر شده توسط سازمان حفاظت محیط زیست (EPA<sup>2</sup>) در جدول شماره (3) ارائه شده است[9].

جدول 3- استاندار شاخص کیفیت هوا برای گاز  $\text{SO}_2$

استاندار	زمان متوسط ماند	نوع آلاینده
(0/10 mg/m <sup>3</sup> ) 0/04 ppm	1 سال	SO <sub>2</sub>
(0/30 mg/m <sup>3</sup> ) 0/12 ppm	24 ساعت	
(0/78 mg/m <sup>3</sup> ) 0/30 ppm	1 ساعت	

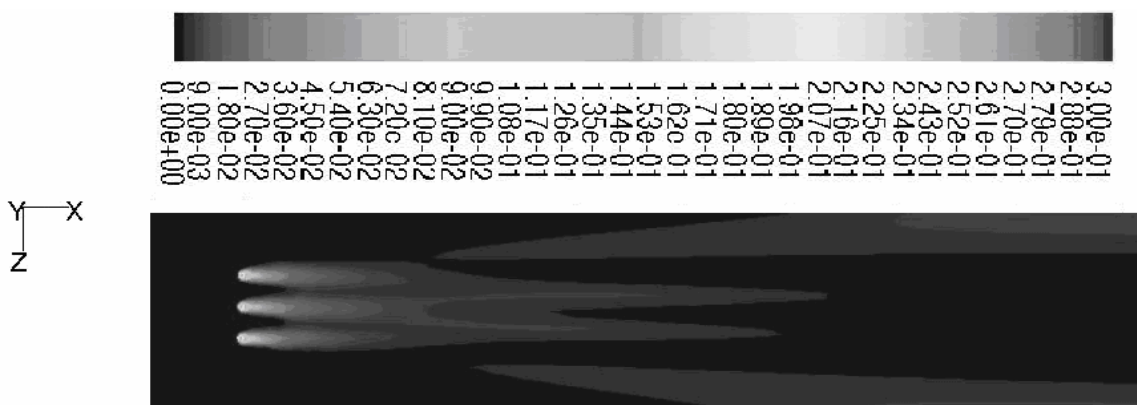
نتایج حاصل از شبیه سازی پراکنش گاز  $\text{SO}_2$  توسط نرم افزار فلورئنس نشان می‌دهد که با توجه به شرایط جوی غالب منطقه و با فرض یک روز نیمه آفتابی در فصل زمستان و سرعت باد 5 m/s<sup>2</sup>، اولین نقطه تماس این گاز با غلظت 0/04 ppm در ارتفاع 1/8 متری (ارتفاع تقریبی تنفس انسان) به فاصله حدود 400 متری از دودکش میانی و در جهت شرقی آن صورت می‌پزیرد. این فاصله برای غلظت 0/30 ppm در فاصله حدود 610 متری اتفاق می‌افتد. شکل شماره (5) نحوی انتشار گاز  $\text{SO}_2$  را از نمای جانبی (صفحه X-Y) و شکل شماره (6) از نمای بالا (صفحه Z-X) و در ارتفاع 30 متری از سطح زمین (2 متر بالاتر از دهانه دودکشها) نمایش می‌دهد.



شکل 5- نحوی شبکه بندی سطوح دیوار اطراف دودکشها در نمای نزدیک و پروفیل نسبت جرمی گاز  $\text{SO}_2$  در صفحه میانی میدان

<sup>1</sup> Air Quality Index

<sup>2</sup> Environmental Protection Agency



شکل 6- پروفیل انتشار گاز  $\text{SO}_2$  در صفحه ای موازی از سطح زمین (صفحه X-Z) و به ارتفاع 30 متر

جدول شماره (4) برای چند مقدار اختیاری سرعت باد در ارتفاع 10 متری، شامل  $5, 8, 11$  و  $15 \frac{\text{m}}{\text{s}^2}$ ، فاصله اولین نقطه تماس و مقدار حداکثر نسبت جرمی گاز  $\text{SO}_2$  را برای دو ارتفاع دلخواه 2 و 5 متر از سطح زمین ارائه می‌دهد.

جدول 4- فاصله اولین تماس و حداکثرنسبت جرمی گاز  $\text{SO}_2$  خارج شده از دودکشهای نیروگاه برای چند سرعت متفاوت

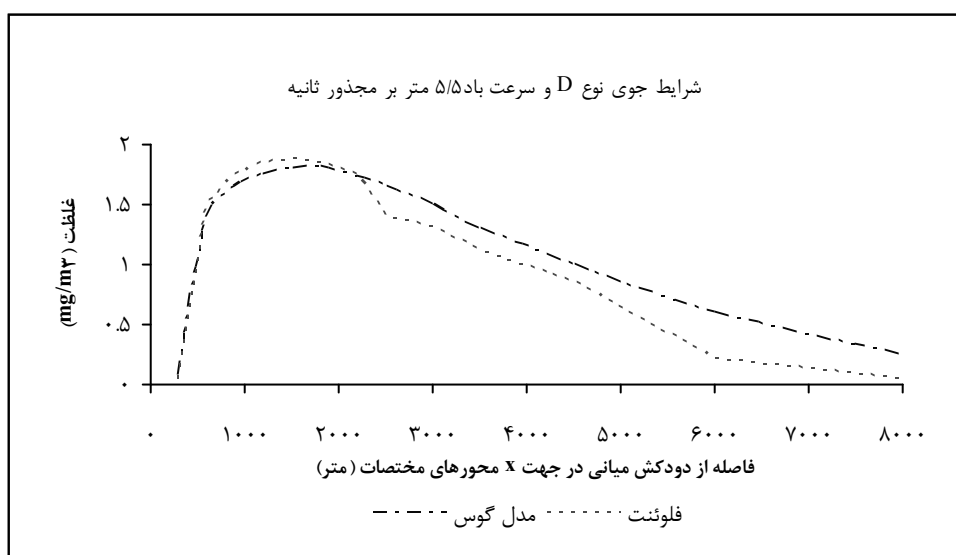
سرعت باد ( $\text{m/s}^2$ )	فاصله اولین تماس گاز $\text{SO}_2$ با ارتفاع 2 متری از سطح زمین در غلظت $0/10\text{mg/m}^3$	حداکثر غلظت گاز $\text{SO}_2$ در ارتفاع 2 متری از سطح زمین ( $\text{mg/m}^3$ )	فاصله حداکثر غلظت گاز $\text{SO}_2$ در ارتفاع 2 متری از سطح زمین ( $\text{mg/m}^3$ )	فاصله اولین تماس گاز $\text{SO}_2$ با ارتفاع 5 متری از سطح زمین در غلظت $0/10\text{mg/m}^3$	حداکثر غلظت گاز $\text{SO}_2$ در ارتفاع 5 متری از سطح زمین ( $\text{mg/m}^3$ )	فاصله حداکثر غلظت گاز $\text{SO}_2$ در ارتفاع 5 متری از دودکش میانی ( $\text{m}$ )
5	۴۰۲/۴	۱/۸۹	۱۵۸۴/۷	۳۷۵/۰	۱/۹۰	۱۴۵۹/۴
8	۵۲۲/۱	۱/۲۱	۱۶۵۵/۲	۴۶۴/۹	۱/۲۷	۱۵۴۷/۷
11	۷۱۲/۷	۰/۸۸	۱۸۰۴/۵	۶۳۷/۲	۰/۹۳	۱۷۱۸/۶
15	-	۰/۰۶	۱۸۱۹/۴	-	۰/۰۷	۱۷۰۵/۳

به منظور مشاهده نتایج در مدل گوس، میزان غلظت گاز  $\text{SO}_2$  با توجه به شرایط جوی غالب مفروض (یک روز نیمه آفتابی در فصل زمستان و سرعت باد  $5/5 \text{ m/s}^2$  و انتخاب ضرائب مناسب از جدول شماره (1) در چند نقطه از میدان محاسبه شده است. جدول شماره (5) غلظت این گاز را در ارتفاع 2 متری برای چند نقطه دلخواه در صفحه X-Y نشان می‌دهد.

جدول 4- غلظت گاز  $\text{SO}_2$  برای شرایط جوی نوع D در سطح زمین و در فواصل مختلف از دودکش میانی (راستای محور X)

غلظت( $\text{mg/m}^3$ )	$\sigma_y$	$\sigma_z$	فاصله (متر)
0/09	12	23	300
1/36	18	35	500
1/75	31	70	1000
1/82	36	82	1500
1/85	41	100	2000
1/69	45	120	2500
0/90	89	200	5000
0/03	103	540	10000

در نمودار شماره (3) مقایسه ای بین میزان غلظت پیش بینی شده حاصل از مدل گوس و نتایج فلوئنت با توجه به شرایط جوی نوع D و سرعت باد  $5/5 \text{ m/s}^2$  صورت گرفته است. این مقایسه دقت قابل قبولی را بین نتایج حاصل از دو مدل تا فاصله حدود 2200 متری نشان می دهد که به تدریج و با فاصله گرفتن از دودکشها، تا حدی دچار واگرایی می شود. با توجه به فرضیات صورت گرفته در شبیه سازی به کمک فلوئنت از جمله پروفیل سرعت برای جریان باد، توجه به دیوارها، ساختمانها و موائع تاثیر گزار در مدل سازی جریان سیال و همچنین حل معادلات در تعداد قابل قبول گره و با تراکم بالا، میتوان اینگونه نتیجه گرفت که این مدل، دقت بالاتری را نسبت به مدل گوس از خود نشان داده و نتایج آن قابل اعتمادتر میباشند.



نمودار 3- غلظت پیش بینی شده حاصل از مدل گوس و نتایج فلوئنت در ارتفاع 2 متری از سطح زمین و در فواصل مختلف از دودکش میانی (راستای محور X)

## 7- نتیجه گیری

با توجه به نتایج مربوط به اندازه گیری غلظت گاز  $\text{SO}_2$  توسط دو روش ارائه شده در این تحقیق شامل مدل سازی جریان سیال به کمک فلوئنت و استفاده از مدل گوس و مقایسه مقادیر اندازه گیری شده با شاخص کیفیت هوا می توان نتیجه گرفت که ساکنین مناطقی تا شعاع حدود 5 کیلومتری از نیروگاه در معرض آلودگی هوا قرار دارند. این آلودگی برای ساکنین شرقی نیروگاه به سبب باد غالب غربی تهران شدیدتر است و با توجه به سرعت میانگین باد، مناطقی که در کمریندی به شعاع 1 تا 3 کیلومتری از دودکشها واقع شده اند در معرض آلودگی شدیدتری تا غلظت  $1/8 \text{ mg/m}^3$  قرار دارند. لازم به ذکر است که آلودگی ایجاد شده توسط گاز  $\text{SO}_2$  بدليل استفاده از سوخت مازوت در فصل زمستان بوده و در صورت تامین گاز مورد نیاز نیروگاه، آلودگی آن به شدت کاهش می یابد.

## مراجع

- 1- FLUENT 6.1(2003). User Manual, Fluent.Inc.,
- 2- Stull R.B. (1997). An Introduction to Boundary Layer Meteorology. Dordrecht:Kluwer Atmos. Publ. 670 pp.
- 3- Britter R.E. & Hanna S.R. (2003). "Flow and dispersion in urban areas". Annu. Rev. Fluid Mech. 35:469 -96.
- 4- Hamlyn, D. & Britter R.E. (2005). "A numerical study of the flow field and exchange processes within a canopy and urban-type roughness". Atmospheric Environment. In press.
- 5- Launder, B.E., Reece, G.J., Rodi, W. (1975). "Progress in the development of a Reynolds-Stress turbulence closure". J. Fluid Mech. Vol. 68, pp. 537-566.

- 6- Turner, D. B., "Workbook of Atmospheric Dispersion Estimates", U.S. Environmental Protection Agency Report Ap-26, V.S. Government Printing Office, Washington DC, 1970.
- 7- شناسنامه نیروگاه بعثت.
- 8- [www.tehranmet.ir](http://www.tehranmet.ir)
- 9- [www.epa.gov](http://www.epa.gov)

Archive of SID